

# شبیه‌سازی ریاضی یک گرداور خورشیدی غیرفعال جدید و ارزیابی عملکرد آن در سیستم‌های سرمایش گرمایی خورشیدی برای شرایط آب و هوایی مختلف ایران

دانشجوی دکتری، گروه مهندسی مکانیک، دانشگاه حقوق اردبیل، اردبیل، ایران

استاد، گروه مهندسی مکانیک، دانشگاه حقوق اردبیل، اردبیل، ایران

فریدون مولانی

\* بهروز میرزاچی ضیاپور\*

## چکیده

در کار حاضر، ابتدا به صورت عددی عملکرد یک گرداور خورشیدی غیرفعال جدید شبیه‌سازی شده، سپس تحلیل ترمودینامیکی سیستم‌های سرمایش گرمایی در سه حالت جذبی، اجکتوری و رانکین به مدل افزوده می‌شود. عملکرد این سیستم‌ها با دو شاخه کسر خورشیدی و ضربی عملکرد خورشیدی در شرایط آب و هوایی مختلف ایران ارزیابی شده است. نتایج نشان می‌دهد که بخش زیادی از انرژی مورد نیاز سیستم‌های سرمایشی از خورشید قابل تأمین است و حتی در بعضی از ساعت‌های روز کل انرژی مورد نیاز را می‌توان از خورشید تأمین نمود. در هر سه سیستم پیشترین درصد تأمین انرژی مورد نیاز از خورشید و بالاترین ضربی عملکرد خورشیدی مربوط به آبادان و کمترین مقدار آنها مربوط به رامسر است. در سیستم جذبی با افزایش دمای ژنراتور کسر خورشیدی کاهش و ضربی عملکرد خورشیدی افزایش می‌یابد، اما در سیستم‌های تبخیرکن کسر خورشیدی و ضربی عملکرد خورشیدی افزایش می‌یابد. در هر سه سیستم با افزایش دمای ژنراتور کسر خورشیدی و ضربی عملکرد خورشیدی افزایش یافته است.

**واژه‌های کلیدی:** سرمایش خورشیدی، گرداور خورشیدی غیرفعال جدید، شرایط آب و هوایی مختلف.

## Mathematical simulation of a new passive solar collector and its performance evaluation in solar thermally driven cooling systems for different climate condition of Iran

F. Molani

B. M.Ziapour

Department of Mechanical Engineering, University of Mohaghegh Ardabili, Ardabil, Iran

Department of Mechanical Engineering, University of Mohaghegh Ardabili, Ardabil, Iran

## Abstract

A numerical model of the new passive solar collector is performed, then the thermodynamic analysis of the thermal cooling systems is applied to the model in three systems: absorption, ejector, and Rankin for different climate condition of Iran, in this work. The results show that a large percentage of the energy required of the systems is available by the solar, even at some hours of the day; the total energy can be supplied by the solar. In all systems, the highest percentage of energy supplied by the solar and the highest solar coefficient of performance is related to Abadan and the lowest amount of it is related to Ramsar. In the absorption system, with the increase of generator temperature, the solar fraction decreases, and the solar coefficient of performance increases, but in the ejector and Rankin systems, the solar fraction and the solar coefficient of performance increases with the increase of generator temperature. In all systems, with the increase of evaporator temperature, the solar fraction and the solar coefficient of performance increase.

**Keywords:** Solar cooling, New passive solar collector, Different climate condition.

عملکرد، آن را به عنوان اختصار بین‌المللی ثبت نموده‌اند [۷]. در پژوهش‌های قبلی امکان به کارگیری PVT غیرفعال به عنوان منبع تأمین انرژی در سرمایش خورشیدی بررسی نشده است. در کار حاضر بناسنخه از انرژی گرمایی سیستم‌های سرمایش خورشیدی توسط ICSS-PV تأمین شود. به این منظور، ابتدا با نرم افزار EES [۸] معادلات گرداور به صورت عددی حل شده، سپس مدل سیستم‌های سرمایش در سه حالت جذبی، اجکتوری و رانکین به مدل افزوده می‌شود. عملکرد این سیستم‌ها در شرایط آب و هوایی ایران با استفاده از داده‌های تابشی چهار شهر مورد ارزیابی قرار گرفته، و در نهایت تاثیر دمای ژنراتور و تبخیرکن بر عملکرد این سیستم‌ها بررسی می‌شود.

**۲- سیستم‌های سرمایش گرمایی خورشیدی**  
هر سیستم سرمایش گرمایی خورشیدی از دو سیستم خورشیدی و سرمایشی تشکیل شده‌اند. سیستم خورشیدی شامل تعدادی گرداور

## ۱- مقدمه

رشد جمعیت و توسعه صنعتی از دلایل افزایش تقاضای انرژی است. حدود ۴۰٪ از مصرف انرژی در بخش ساختمان بوده، که ۱۴/۶٪ آن صرف سرمایش می‌شود [۱]. سرمایش خورشیدی تولید سرما از خورشید است. سرمایش خورشیدی یا برقی است و یا گرمایی. سرمایش گرمایی دارای دو حالت جذبی و ترمومکانیکی است [۲]. ۳٪ یا و همکاران [۳] سیستم سرمایش خورشیدی با ظرفیت ۴/۵ kW ساخته-اند. امان و همکاران [۴] سرمایش جذبی با ظرفیت ۱۰ kW را تحلیل نموده‌اند. پریدوس و لنکیست [۵] اجکتور خورشیدی را توسعه داده‌اند. در گرداور خورشیدی، گرما و در سلول فتوولتائی (PV)، برق تولید می‌شود و ترکیب آنها PVT نامیده می‌شود. گرداور خورشیدی یکپارچه که گرداور غیرفعال نامیده می‌شود، حالتی است که گرداور و مخزن در یک فضای فشرده شده‌اند. ضیاپور و همکاران [۶] به مقایسه عملکرد PVT غیرفعال (ICSS-PV) با دو دیگر پرداخته و با بهبود دادن

\* نویسنده مکاتبه کننده، آدرس پست الکترونیکی: bmziapour@gmail.com

تاریخ دریافت: ۹۸/۰۱/۱۸

تاریخ پذیرش: ۹۸/۰۸/۲۰

غیرفعال تغییر یافته و یک مبادله‌کن گرما ICSS-PV است. در سیستم سرمایشی از سه چرخه جذبی، اجکتوری و رانکین استفاده می‌شود. سیستم سرمایش جذبی خورشیدی شامل یک چرخه سرمایش جذبی آب-آمونیاک است. طرحواره این سیستم در شکل ۱ نشان داده شده است. اجزای این سیستم عبارتند از: گردآورهای خورشیدی، مبادله‌کن گرما ICSS-PV، مبادله‌کن گرما آب-آمونیاک، پمپ، شیرهای انبساط. طرحواره سیستم سرمایش اجکتور خورشیدی در شکل ۲ آورده شده است. اجزای این سیستم عبارتند از: گردآورهای خورشیدی، مبادله‌کن گرما آب-آمونیاک، چالنده، اجکتور، پمپ و شیر انبساط. سیستم سرمایش رانکین خورشیدی از دو چرخه رانکین با سیال عامل الی (ORC) و چرخه تبرید تراکمی متداول (VCC) تشکیل شده است. اجزای این سیستم عبارتند از: گردآورهای خورشیدی، مبادله‌کن گرما آب-آمونیاک، چالنده، مبادله‌کن، کمپرسور، پمپ و شیر انبساط. طرحواره این سیستم در شکل ۳ نشان داده است.

**۴- مدلسازی ترمودینامیکی سیستم‌های سرمایشی**  
در این مدلسازی از فرض‌های زیر استفاده می‌شود: ۱- حالت کلیه فرایندها پایا و افت فشار و انتقال گرما ناچیز است؛ ۲- کمپرسور، منبسط کننده و پمپ دارای بازده ایزنتروبیک است؛ ۳- در سیستم جذبی محلول آب-آمونیاک در دما و فشار مربوطه در تعادل بوده و بخار خروجی از ژنراتور آمونیاک خالص است؛ ۴- در اجکتور، تبخیرکن، اختلاط و دیفیوزر ثابت بوده و نسبت دبی جرمی اجکتور  $\omega = \dot{m}_s / \dot{m}_p = 10$ ؛ معادله‌های پایستگی جرم و انرژی به صورت زیر است:

$$\sum \dot{m}_{in} = \sum \dot{m}_{out} \quad (1)$$

$$\dot{Q}_{net,in} + \sum \dot{m}_{in} h_{in} = \dot{W}_{net,out} + \sum \dot{m}_{out} h_{out} \quad (2)$$

که  $\dot{m}$  دبی جرمی،  $h$  آنتالپی و پیله،  $\dot{Q}$  انتقال گرما و  $\dot{W}$  کار مکانیکی است. با اعمال روابط (۱) و (۲)، معادله‌های حاکم بر به شکل‌های ۱، ۲ و ۳ به دست می‌آید که در جدول ۱ خلاصه شده است.

مهترین شاخص‌های یک سیستم سرمایش خورشیدی عبارتند از: ضریب عملکرد (COP): بیانگر نسبت بار سرمایشی سیستم به کل انرژی مصرفی آن است [۱۱].

$$COP = \frac{\dot{Q}_e}{\dot{Q}_{solar} + \dot{Q}_{aux}} \quad (3)$$

کسر خورشیدی (SF): نسبت انرژی گرمایی تأمین شده توسط

گردآور خورشیدی به کل انرژی مورد نیاز سیستم است [۱۱].

$$SF = \frac{\dot{Q}_{solar}}{\dot{Q}_{solar} + \dot{Q}_{aux}} \quad (4)$$

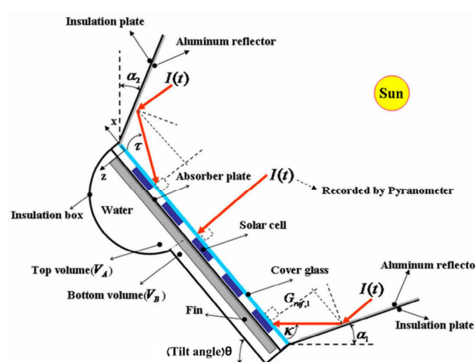
ضریب عملکرد خورشیدی ( $COP_{solar}$ ): این ضریب نسبت بار سرمایشی به کل انرژی ورودی است [۱۲].

$$COP_{solar} = \eta_{coll} \cdot COP \quad (5)$$

که  $\dot{Q}_e$ ،  $\dot{Q}_{aux}$  و  $\dot{Q}_{solar}$  به ترتیب بار سرمایشی، گرمای تأمین شده توسط گردآور و گرمای تأمین شده توسط گرمکن کمکی است.

## ۵- نتایج و بحث

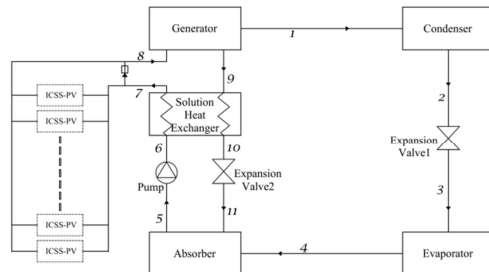
در این مقاله، پس از حل عددی PVT غیرفعال، مدل سیستم‌های سرمایشی به تحلیل افزوده شده است. نتایج شبیه‌سازی سیستم‌های جذبی، اجکتوری، تراکمی و رانکین کار حاضر با نتایج [۴، ۱۲، ۱۳] در جدول ۲ مقایسه شده است که توافق خوبی بین نتایج وجود دارد.



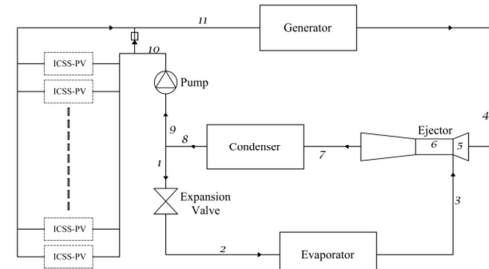
شکل ۴- طرحواره گردآور خورشیدی غیرفعال جدید

## ۳- گردآور خورشیدی غیرفعال جدید

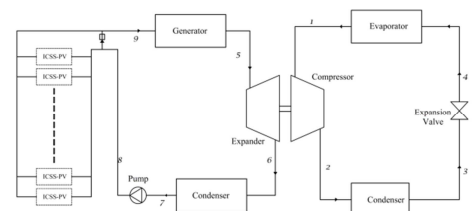
در شکل ۴ طرحواره گردآور خورشیدی غیرفعال آورده شده است. اجزای این گردآور عبارتند از: پوشش شیشه‌ای؛ سلول‌های PV؛ صفحه جاذب؛ صفحه‌های بازتابنده و مخزن. روابط حاکم بر PVT غیرفعال در مقاله قبلی ما [۹] آورده شده و در اینجا از تکرار آن خودداری می‌شود.



شکل ۱- طرحواره سیستم سرمایش جذبی خورشیدی



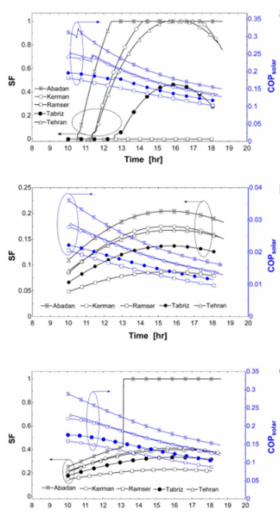
شکل ۲- طرحواره سیستم سرمایش اجکتور خورشیدی



شکل ۳- طرحواره سیستم سرمایش رانکین خورشیدی

جدول ۱- معادله‌های پایستگی جرم و انرژی حاکم بر سیستم‌های سرمایش خورشیدی					
سیستم رانکین		سیستم اجکتوری		سیستم جذبی	
$\dot{Q}_e = \dot{m}_{VCC}(h_1 - h_4)$	تبخیر کن	$\dot{Q}_e = \dot{m}_s(h_3 - h_2)$	تبخیر کن	$\dot{Q}_e = \dot{m}_4(h_4 - h_3)$	تبخیر کن
$\dot{Q}_{aux} = \dot{m}_{orc}(h_5 - h_9)$	ژنراتور	$\dot{Q}_{aux} = \dot{m}_p(h_{12} - h_{11})$	ژنراتور	$\dot{Q}_{aux} = \dot{m}_4 h_1 + \dot{m}_{11} h_9 - \dot{m}_5 h_8$	ژنراتور
$\dot{Q}_{solar} = \dot{m}_{orc}(h_9 - h_8)$	ICSS-PV	$\dot{Q}_{solar} = \dot{m}_p(h_{11} - h_{10})$	ICSS-PV	$\dot{Q}_{solar} = \dot{m}_5(h_8 - h_7)$	ICSS-PV
$\eta_{exp} = \frac{h_6 - h_5}{h_{6s} - h_5}$	منبسط کننده	$\eta_n = \frac{h_4 - h_5}{h_4 - h_{5s}}$	اجکتور	$T_{I0} = \eta_{hex} T_0 + (1 - \eta_{hex}) T_9$	مبادله کن گرما
$\dot{W}_{exp} = \dot{m}_{orc}(h_5 - h_6)$	کمپرسور	$h_7 = \frac{1}{\omega+1} h_4 + \frac{\omega}{\omega+1} h_3$		$\dot{m}_5(h_7 - h_6) = \dot{m}_{11}(h_9 - h_{10})$	محلول
$\eta_c = \frac{h_{2s} - h_1}{h_2 - h_1}$		$\eta_m = (u_6' / u_6)^2$		$\dot{m}_5 = \dot{m}_4 + \dot{m}_{11}$	جادب
$\dot{W}_c = \dot{m}_{VCC}(h_2 - h_1)$		$\eta_d = \frac{h_6 - h_{7s}}{h_6 - h_7}$		$X_5 \dot{m}_5 = \dot{m}_4 + X_{11} \dot{m}_{11}$	
				$\dot{Q}_{abs} = \dot{m}_4 h_4 + \dot{m}_{11} h_{11} - \dot{m}_5 h_5$	

افزایش دمای ژنراتور، کسر خورشیدی کاهش و ضریب عملکرد خورشیدی افزایش می‌یابد. در سیستم‌های اجکتوری و رانکین با افزایش دمای ژنراتور، کسر خورشیدی و ضریب عملکرد خورشیدی افزایش می‌یابد. سیستم جذبی در همه شهرها به جز رامسر کارایی بهتری دارد بطوری که در آبادان و کرمان با دمای ژنراتور  $70^{\circ}\text{C}$  تقریباً مستقل از انرژی کمکی است. در شکل‌های ۶ و ۹ مشاهده می‌شود که نمودار کسر خورشیدی به صورت جهشی به مقدار یک رسیده و کل انرژی گرمایی مورد نیاز سیستم از خورشید تامین شده است. اثر دمای تبخیر کن بر کسر خورشیدی و ضریب عملکرد خورشیدی این سیستم‌ها در شکل‌های ۱۳-۱۰ نشان داده شده است. همانطور که مشاهده می‌شود با افزایش دمای تبخیر کن کسر خورشیدی و ضریب عملکرد خورشیدی هر سه سیستم افزایش یافته است. در چرخه رانکین تاثیر دمای تبخیر کن بر کسر خورشیدی ناچیز است.



شکل ۵- کسر خورشیدی و ضریب عملکرد سیستم‌های سرمایشی در شهرهای مختلف، حالت: (a) جذبی، (b) اجکتوری، (c) رانکین

سیال عامل در چرخه‌های اجکتوری، ORC و VCC به ترتیب R134a و R123 است. شرایط کاری سیستم‌ها در جدول ۳ ارائه شده است. جهت ارزیابی عملکرد سیستم‌ها در شرایط آب و هوایی ایران شهرهای آبادان، تبریز، رامسر و کرمان انتخاب شده‌اند. ضریب عملکرد این سیستم‌ها در حالت جذبی، اجکتوری و رانکین  $0.620 \pm 0.094$  و  $0.628 \pm 0.090$  است. کسر خورشیدی و ضریب عملکرد خورشیدی سیستم‌ها در شکل ۵ آورده شده است. در سیستم جذبی سهم انرژی خورشید بیشتر است، به گونه‌ای که در بعضی از ساعت‌های روز کسر خورشیدی به عدد یک می‌رسد، یعنی کل انرژی مورد نیاز از انرژی خورشید تامین می‌شود. در سیستم رانکین نیز این امکان وجود دارد، اما در سیستم اجکتوری سهم انرژی خورشید حداقل  $20\%$  است. به جز رامسر کسر خورشیدی سیستم جذبی از دو سیستم دیگر بزرگتر است.

جدول ۲- مقایسه نتایج شبیه‌سازی کار حاضر با نتایج دیگران

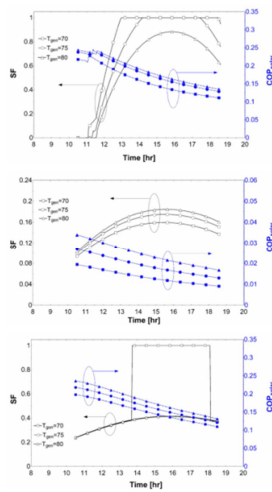
چرخه	پارامتر	کار حاضر	کار دیگران
سرمایش	بار گرمایی تبخیر کن (kW)	$10/0$	[۴]
جذبی	بار گرمایی ژنراتور (kW)	$15/2$	[۴]
سرمایش	بار گرمایی تبخیر کن (kW)	$175/0$	[۱۲]
اجکتوری	توان کمپرسورها (kW)	$112/4$	[۱۲]
سرمایش	بار گرمایی تبخیر کن (kW)	$175/0$	[۱۲]
ترانکی	توان کمپرسورها (kW)	$121/3$	[۱۲]
تولید توان	بار گرمایی تبخیر کن (kW)	$252/0$	[۱۳]
رانکین	تولید توان (kW)	$51/0$	[۱۳]
رانکین	توان توربین (kW)	$51/43$	

جدول ۳- پارامترهای مورد نیاز شبیه‌سازی سیستم‌های سرمایشی

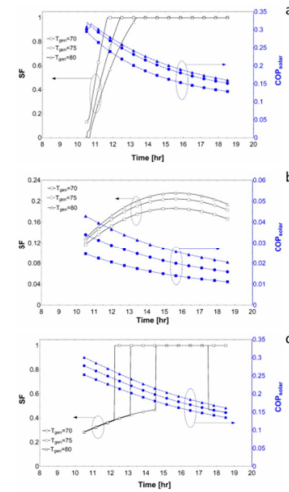
پارامتر	مدار	پارامتر	مدار	پارامتر	مدار
$0/80$	$\eta_d$	$0/80$	$\eta_c$	$10/0$	$\dot{Q}_e (\text{kW})$
$0/95$	$\eta_m$	$0/85$	$\eta_{exp}$	$0/0$	$T_e (\text{°C})$
$0/80$	$\eta_n$	$0/80$	$\eta_{hex}$	$75/0$	$T_{gen} (\text{°C})$
		$0/90$	$\eta_p$	$30/0$	$T_a \text{ و } T_c (\text{°C})$

#### ۱-۵- تاثیر دمای ژنراتور و تبخیر کن

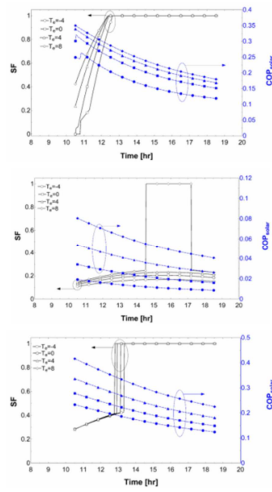
اثر دمای ژنراتور بر کسر خورشیدی و ضریب عملکرد خورشیدی این سیستم‌ها در شکل‌های ۹-۶ آورده شده است. در سیستم جذبی با



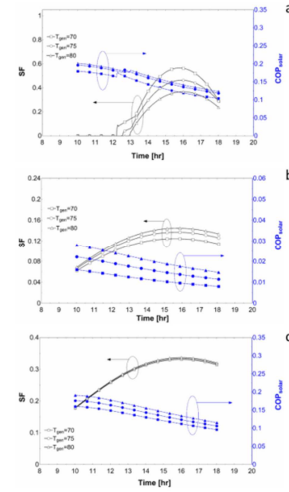
شکل ۹- تأثیر دمای ژنراتور بر عملکرد سیستم‌های سرمایش خورشیدی در شهر کرمان، حالت: (a) جذبی، (b) اجکتوری، (c) رانکین



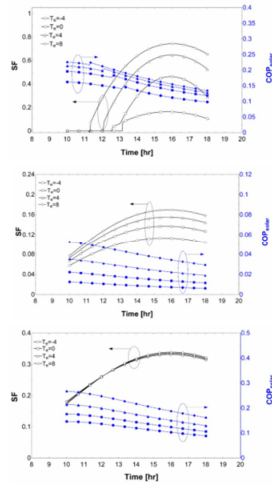
شکل ۶- تأثیر دمای ژنراتور بر عملکرد سیستم‌های سرمایش خورشیدی در شهر آبادان، حالت: (a) جذبی، (b) اجکتوری، (c) رانکین



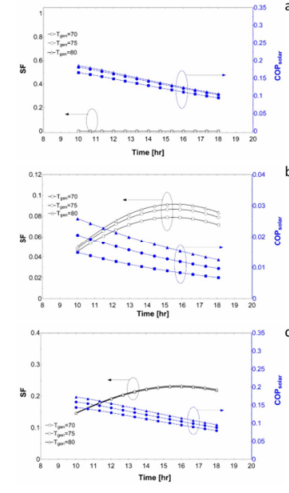
شکل ۱۰- تأثیر دمای تبخیرکن بر عملکرد سیستم‌های سرمایش خورشیدی در شهر آبادان، حالت: (a) جذبی، (b) اجکتوری، (c) رانکین



شکل ۷- تأثیر دمای ژنراتور بر عملکرد سیستم‌های سرمایش خورشیدی در شهر تبریز، حالت: (a) جذبی، (b) اجکتوری، (c) رانکین



شکل ۱۱- تأثیر دمای تبخیرکن بر عملکرد سیستم‌های سرمایش خورشیدی در شهر تبریز، حالت: (a) جذبی، (b) اجکتوری، (c) رانکین



شکل ۸- تأثیر دمای ژنراتور بر عملکرد سیستم‌های سرمایش خورشیدی در شهر رامسر، حالت: (a) جذبی، (b) اجکتوری، (c) رانکین

علائم یونانی	ساعت (m/s)
بازده ایزنتروپیک کمپرسور (-)	$\eta_c$
بازده گرمایی گردآور (-)	$\eta_{coll}$
بازده دیفیوزر اجکتور (-)	$\eta_d$
بازده ایزنتروپیک منبسط کننده (-)	$\eta_{exp}$
بازده گرمایی میادله کن گرما (-)	$\eta_{hex}$
بازده اختلاط اجکتور (-)	$\eta_m$
بازده نازل اجکتور (-)	$\eta_n$
بازده ایزنتروپیک پمپ (-)	$\eta_p$
زیرنویس	
جادب	abs
گردآور یا چگالنده	c

## ۸- مراجع

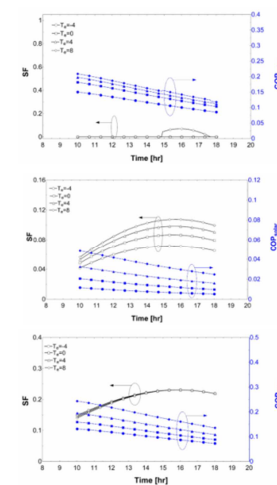
- [1] Nugent, N. and Rhinard M., The European commission, *Macmillan International Higher Education*, 2015.
- [2] Zeyghami, M., Goswami, D.Y. and Stefanakos, E., A review of solar thermo-mechanical refrigeration and cooling methods. *Ren & Sus Energy Rev*, 51, 1428-1445, 2015.
- [3] Zhai, X., Li, Y., Cheng, X. and Wang, R., Experimental Investigation on a Solar-powered Absorption Radiant Cooling System. *Energy Procedia*, 70, 552 – 559, 2015.
- [4] Aman, J., Ting, D.K. and Henshaw, P., Residential solar air conditioning: Energy and exergy analyses of an ammonia-water absorption cooling system. *Applied Thermal Engineering*, 62, 424-432, 2014.
- [5] Pridasawas, W. and Lundqvist, P., A year-round dynamic simulation of a solar-driven ejector refrigeration system with iso-butane as refrigerant. *Inter Jour of Ref*, 30, 840-850, 2007.
- [6] Ziapour, B.M., Palideh, V. and Mokhtari, F., Performance improvement of the finned passive PVT system using reflectors like removable insulation covers. *Applied Thermal Engineering*, 94, 341-349, 2016.
- [7] Ziapour, B.M. and Palideh V., Finned passive pvt system with adjustable angle insulating reflectors, *US 2017/0040930 A1*, 2017.
- [8] Klein A., *Engineering Equation Solver (EES)*, F-Chart Software, Madison, WI, 2012.
- [9] Molani, F., Ziapour, B.M., Performance Analyses of Ammonia-Water Absorption Cooling Cycle Combined with Enhanced Passive PVT System. *J Energy Eng*, 145, (2019).
- [10] Yari, M. and Siroosazar, M., Cycle improvements to ejector expansion transcritical CO<sub>2</sub> two-stage refrigeration cycle. *Int. J. Energy Res*, 32, 677-687, 2008.
- [11] Al-Alili, A., Hwang, Y., Radermacher, R. and Kubo, I. Optimization of a solar powered absorption cycle under Dhabi weather condition. *Solar Energy*, 84, 2034-2040, 2010.
- [12] Dokandari, A., Hagh, S. and Mahmoudi, S., Thermodynamic investigation and optimization of novel ejector-expansion CO<sub>2</sub>/NH<sub>3</sub> cascade refrigeration cycles. *International journal of Refrigeration*, 46, 26-36, 2014.
- [13] Safarian, S. and Aramoun, F., Energy and exergy assessments of modified organic Rankine cycles (ORCs). *Energy reports*, 1, 1-7, 2015.

## ۶- نتیجه‌گیری

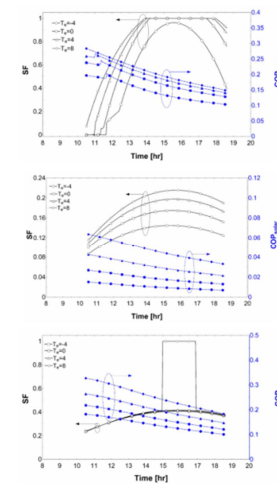
در کار حاضر امکان بکارگیری گردآورهای PVT غیرفعال جهت تامین انرژی سیستم‌های سرمایش گرمایی در چهار شهر با شرایط آب و هوایی مختلف مورد مطالعه قرار گرفته است. نتایج نشان می‌دهد، در سیستم جذبی سهم انرژی خورشید بیشتر است. به گونه‌ای که در بعضی از ساعت‌های روز کسر خورشیدی به عدد یک می‌رسد و کل انرژی مورد نیاز از خورشید تامین می‌شود. در سیستم رانکین نیز این امکان وجود دارد، اما در سیستم اجکتوری سهم انرژی خورشید حداقل ۲۰٪ است. در هر سه سیستم بیشترین درصد تامین انرژی مورد نیاز از خورشید مربوط به آبادان و کمترین مقدار آنها مربوط به رامسر است.

## ۷- نمادها

$$\text{انتالپی ویژه (J/Kg)} \quad h \quad \text{دما (}^{\circ}\text{C)} \quad T$$



شکل ۱۲- تأثیر دمای تبخیرکن بر عملکرد سیستم‌های سرمایش خورشیدی در شهر رامسر، حالت: (a) جذبی، (b) اجکتوری، (c) رانکین



شکل ۱۳- تأثیر دمای تبخیرکن بر عملکرد سیستم‌های سرمایش خورشیدی در شهر کرمان، حالت: (a) جذبی، (b) اجکتوری، (c) رانکین